

اثر تغییر شکل‌های قابع زمان بتن بر نیروی پیش‌تندی‌گی در مخازن استوانه‌ای

کورش شاهوردیانی^{*}، علیرضا رهایی^۲

۱- دانشجوی دکتری، دانشگاه صنعتی امیرکبیر

۲- استاد، دانشگاه صنعتی امیرکبیر

shahver@aut.ac.ir

(دریافت مقاله: بهمن ۱۳۸۵، دریافت پذیرش: مهر ۱۳۸۹)

چکیده- در مخازن حجمی بتنی برای غلبه بر کشش‌های ایجاد شده در جدار و جلوگیری از ترک-خوردگی، از تکنیک پیش‌تندی‌گی استفاده می‌شود. در این ارتباط، مسئله‌ی برآورد افت‌های احتمالی نیروی پیش‌تندی‌گی، با توجه به مشخصات مسیر و هندسه‌ی کابل‌ها، اولویت خاصی دارد. در مقاله‌ی حاضر، با مدل‌سازی عددی به روش اجزاء محدود و استفاده از مدل‌های مختلف برای وارفگی بتن و ودادگی فولاد، تغییرات نیروی پیش‌تندی‌گی محیطی، در جدار استوانه‌ای شکل مخازن بتن پیش‌تندی، بررسی شده است. سنجش اعتبار مدل عددی نیز با داده‌های تجربی موجود از آزمایش یک تیر پیش-تندی انجام شده است. در این راستا، اثر پیش‌تندی‌گی قائم و ضخامت جدار، مطالعه شده و مدل‌های مختلف وارفگی بتن با هم مقایسه شده‌اند. نتایج حاصل، بروز افت ۱۵ تا ۲۲ درصدی را پس از حدود ۱۳ سال نشان می‌دهد که در آن نقش ودادگی فولاد اهمیت بیش‌تری دارد. با مدل وارفگی پیشنهادی برای آئین‌نامه‌ی بتن ایران، افتی در حد میانگین دو مقدار مذکور نتیجه می‌شود. بر این اساس، در محاسبه‌ی مجموع افت‌های نیروی پیش‌تندی‌گی، اعمال ضریب جدیدی بر افت حاصل از وارفگی فولاد توصیه شده است.

کلید واژگان: افت پیش‌تندی‌گی، مخزن استوانه‌ای، وارفگی بتن، ودادگی فولاد

۱- مقدمه

که با افزایش نسبت حجم به سطح، روند خشک شدن، آرام شده و جمع شدگی و وارفتگی حاصل از آن به مقدار قابل توجهی کاهش می یابد [۱۱]. نتایج اولیهی حاصل از اندازه گیری های محلی در یکی از نیروگاه های بخار سوئد در سال ۲۰۰۴ نیز روند آهسته خشک شدن را تأیید می کند [۴]. از سوی دیگر، گروهی از محققان اثر سن بتن به هنگام بارگذاری را بررسی کرده و به این نتیجه رسیده اند که افزایش سن بارگذاری سبب کاهش مقدار وارفتگی می شود [۱۶، ۱۴، ۶]. بر این اساس، نسبت کرنش خزشی بتن که در سینم ۲ سالگی و ۲۸ روزگی بارگذاری شده بین ۰/۵ و ۰/۴ گزارش شده است [۶]. مطالعات نشان داده است که هم زمانی اعمال بار و افزایش دما، مقدار وارفتگی را به شدت افزایش می دهد [۱۳]. از این رو، در روابط ارائه شده در Euro code 2 و یا CEB برای خرشن بتن، با اصلاح پارامترهای مربوط به سن بتن به هنگام اعمال پیش تبیدگی و نیز زمان برآورد خرشن بر حسب دمای حاکم، اثر تغییرات دما بر خرشن عضو بتنی منظور شده است [۸، ۲].

در جدار مخازن معمولاً پیش تبیدگی در امتداد دو محور اعمال می شود و این مسئله تا حدی بر سازوکار خرشن اثر می گذارد. از آزمایش های محدودی که در این زمینه صورت گرفته است چنین بر می آید که افزایش تنفس جانبی سبب کاهش وارفتگی می شود ولی اثر آن ناچیز است [۲۰، ۱۲، ۱۰]. به علاوه، نبود اختلاف در افت نیروی پیش تبیدگی در دال هایی که در یک و یا دو امتداد پیش تبیده شده اند گزارش شده است. [۱۸، ۹]. مطالعات انجام شده نشان می دهد که هر چند افزایش میزان فولاد، با کاهش افت پیش تبیدگی همراه است ولی همیشه کاهش تنفس در بتن را به دنبال ندارد [۳، ۱۵]. در سال ۲۰۰۵ Anderson در مقاله ای خود، بر مبنای نتایج حاصل از سی سال اندازه گیری افت پیش تبیدگی در

مخازن جمع آوری و ذخیره سازی مواد سیال، از اجزای مهم و شریان های حیاتی و امکانات و تجهیزات صنعتی به شمار می روند. استفاده از این گونه سازه ها، از دیرباز برای تأمین آب مورد نیاز شبکه های آبرسانی محلی متداول بوده؛ با پیشرفت فناوری، افزایش جمعیت، توسعهی شهرها و افزایش نیازهای جامعه، در موارد گوناگون دیگر، مانند تصفیهی فاضلاب ذخیره سازی مواد سوختی، ابزار کردن محصولات شیمیایی و پتروشیمی، نیروگاه های هسته ای و نیز گسترش یافته است.

بر حسب حجم، شکل، موقعیت استقرار مخزن و خصوصیات مواد ذخیره شده در آن، می توان از مصالح بنایی، انواع فولاد، بتن مسلح یا بتن پیش تبیده، در ساخت مخزن استفاده کرد. در برخی موارد، برای تقویت یا جلوگیری از اثر ناساعد محتویات مخزن بر جدار، مخازن به صورت دوجداره و با دو یا چند نوع مصالح مختلف ساخته می شوند. در طرح و اجرای مخازن، ضوابط و معیارهای مشخص در مورد بارگذاری، رفتار مصالح، اثر زلزله بر سازه، مشخصات ساختگاه، نشد و آب بندی و همچنین آثار زیست محیطی باید در نظر گرفته شوند.

سال ها است که با توجه به ملاحظات فنی و اقتصادی، از مخازن استوانه ای ساخته شده از بتن پیش تبیده برای ذخیره کردن آب آشامیدنی، مواد نفتی، مواد شیمیایی، زباله های خطرناک و تصفیه خانه های فاضلاب شهری استفاده شده و مزایای آن ها از جنبه های مختلف بررسی شده است [۱۹]. با این وجود، هنوز اثر تغییر شکل های بلند مدت بتن، مانند وارفتگی و جمع شدگی، بر نیروی پیش تبیدگی، به خصوص پیش تبیدگی محیطی، به طور کامل شناخته نشده است. مطالعات انجام شده در مورد جمع شدگی بتن نشان داده است

بیشترین مقدار لنگر خمی قائم در تراز پای جدار، برابر است با:

$$M(0) = -\frac{a^2}{2} \left[p(h) + \{p(0) - p(h)\} \left(1 - \frac{a}{h} \right) \right] \quad (2)$$

کاهش سریع این مقدار به گونه‌ای است که در تراز $\frac{\pi a}{2}$ به $M_m = -0.208 M(0)$ می‌رسد.

تامین مقاومت در برابر کشش حاصل از خمی قائم، بوسیله آرماتورهای پاسیو یا پیش‌تنیدگی قائم باید به گونه‌ای صورت پذیرد که از ایجاد ترک در امتداد کابل‌های افقی جلوگیری شود.

مخازن بتن پیش‌تنیده، میزان افت را بین ۵ تا ۱۰٪ اعلام کرده و مغایرت آن با مقادیر منظور شده در طراحی را تأکید کرده است [۴]. وی هم‌چنین، روند پدید آمدن افت مذکور را با در نظر گرفتن اثر جمع‌شدگی، وارفتگی و سن بتن، ساعت متوسط جدار مخزن، دمای محیط و وادادگی کابل‌ها توجیه کرده است.

با توجه به اهمیت نیروی پیش‌تنیدگی در پایداری جدار و آبندی مخزن، ضرورت برآورده دقیق میزان افت‌های مختلف و عملکرد متقابل آن‌ها احساس می‌شود. از این رو در این مقاله نقش وارفتگی بتن و وادادگی فولاد بر تغییرات نیروی پیش‌تنیدگی بررسی می‌شود.

۲- افت‌های نیروی پیش‌تنیدگی

پیش‌تنیدگی زمینی

در سیستم‌های پیش‌تنیده امکان تنظیم تنش‌ها متناسب با عملکرد سازه وجود دارد؛ البته باید توجه داشت که مقدار نیروی پیش‌تنیدگی و تنش‌های موجود با گذشت زمان و در مراحل مختلف بارگذاری تغییر می‌کنند.

عوامل شناخته شده و مؤثر بر تغییرات نیروی پیش‌تنیدگی را می‌توان به دو گروه عوامل با اثر کوتاه مدت، شامل تغییر شکل الاستیک، اصطکاک و لغزش محروم و مهاری و عوامل با اثر بلندمدت شامل جمع‌شدگی و وارفتگی بتن، وادادگی فولاد و حرارت، تقسیم کرد.

تعدد عوامل مؤثر و تأثیر متقابل آن‌ها بر یکدیگر، محاسبه‌ی دقیق میزان افت نیروی پیش‌تنیدگی را بسیار دشوار می‌سازد. از این‌رو، در آینه‌نامه‌ها و دستورالعمل‌های محاسباتی، برای این منظور، روابط تجربی مختلفی ارائه می‌شود [۱، ۲، ۵، ۸، ۱۷]. در جدول ۱ خلاصه‌ای از این گونه روابط درج شده است.

در مخزنی استوانه‌ای با محور قائم، به ساعت Δ ضخامت جدار ϵ و حاوی مایعی با وزن مخصوص γ ، تا ارتفاع h جدار تحت اثر فشار هیدرولستاتیک $p(y) = \gamma(h - y)$ در آن پدید می‌آید. برای نگهداشتن بتن در حالت فشار، نیروی پیش‌تنیدگی محیطی مورد نیاز را می‌توان از رابطه‌ی زیر به دست آورد:

$$F(y) \geq e f_a + r \gamma(h - y) \quad (1)$$

اختلاف تغییرشکل شعاعی در تراز نوارهای افقی مخزن، موجب بروز تلاشهای خمی قائم می‌شود، که به خصوص در حالت اتصال گیردار جدار به کف مخزن، اهمیت زیادی دارند. با تعریف $a = \sqrt[4]{\frac{e^2 R^2}{3}}$

محیط، اندازه و شکل عضو بتنی، روانی بتن تازه، نسبت وزن ریزدانه به کل مصالح سنگی و درصد حباب هوای موجود در بتن بر آورد می شود.

در روابط BPEL که برای تنش های تا ۷۰٪ مقاومت بتن و شرایط رطوبتی و حرارتی ثابت ارائه شده اند، کرنش لحظه ای بر حسب مدول الاستیسیته بتن در زمان اعمال بار $E_{fl}(t)$ محاسبه می شود. کرنش وارفتگی $\varepsilon_{fl}(t)$ بر پایه کرنش لحظه ای در بتن ۲۸ روزه E_{i28} و ضریب وارفتگی $\varphi(t, t')$ برآورد می شود. مدول الاستیسیته مماسی بتن در سن ۲۸ روز است. برای تنش های بزرگ تر از ۵۰٪ مقاومت بتن، کرنش لحظه ای تا ۱۰٪ افزایش داده می شود. ضریب وارفتگی $\varphi(t, t')$ تابع مدت بارگذاری $(t-t')$ ، شاعع متوسط قطعه r_m و ضریب $K_{fl}(t')$ است که به میزان فولاد موجود در قطعه بتنی، ضریب وارفتگی بلند مدت بتن غیر مسلح، شرایط محیطی، اندازه قطعه بتنی و میزان رسیده بودن بتن در زمان بارگذاری وابسته است.

روابط Eurocode 2 برای بتن های ارائه شده است که پس از حداقل ۵ روز عمل اوری، مقاومتی بین ۱۲ تا ۶۰ مگاپاسکال دارند و در رطوبت نسبی ۴۰٪ تا ۱۰۰٪ و میانگین دمای ۱۰ تا ۲۰ درجه سلسیوس، بیش از ۴۵٪ مقاومت خود بارگذاری نمی شوند. در روابط اخیر، کرنش لحظه ای، تابع مدول الاستیسیته بتن در زمان اعمال بار $E_i(t')$ بوده و کرنش وارفتگی $\varepsilon_{fl}(t)$ بر پایه ضریب وارفتگی $\varphi(t, t')$ و مدول الاستیسیته مماسی رطوبت نسبی، مقاومت بتن، و نوع سیمان β_H ، رطوبت نسبی محیط و سن بتن در زمان بارگذاری $(\varphi_0(t))$

جدول ۱ مدل های مختلف برای وارفتگی بتن

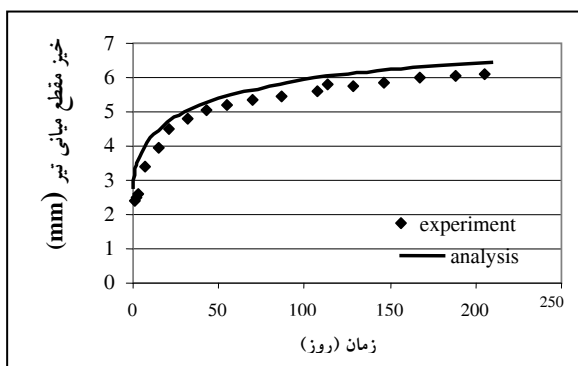
ACI 209	$\varepsilon(t) = J(t, t') \sigma$ $J(t, t') = \frac{1}{E(t')} \times (1 + \varphi(t, t'))$ $\varepsilon(t) = \frac{\sigma(t)}{E(t')}$ $E(t') = 4734 \sqrt{f} \left(\frac{t'}{\alpha + \beta t'} \right)$ $\varepsilon(t) = \frac{\sigma(t)}{E(t')} \varphi(t, t')$ $\varphi(t, t') = \frac{(t - t')^{\gamma}}{10 + (t - t')^{\gamma}} \varphi_{\infty}(t')$
BPEL 91	$\varepsilon(t) = J(t, t') \sigma$ $J(t, t') = \frac{1}{E(t')} + \frac{\varphi(t, t')}{E_{\infty}}$ $\varepsilon(t) = \frac{\sigma(t)}{E(t')}$ $E(t') = 11000 \sqrt{f(t')}$ $\varepsilon(t) = \frac{\sigma(t)}{E_{\infty}} \varphi(t, t')$ $\varphi(t, t') = \frac{(t - t')^{\gamma}}{5 \sqrt{r} + (t - t')^{\gamma}} K_{\gamma}(t')$
Euro code 2	$\varepsilon(t) = J(t, t') \sigma$ $J(t, t') = \frac{1}{E(t')} + \frac{\varphi(t, t')}{E_{\infty}}$ $\varepsilon(t) = \frac{\sigma(t)}{E(t')}$ $E(t') = 9975 \sqrt{f(t')}$ $\varepsilon(t) = \frac{\sigma(t)}{E_{\infty}} \varphi(t, t')$ $\varphi(t, t') = \left(\frac{(t - t')^{\gamma}}{\beta_{\gamma} + (t - t')^{\gamma}} \right)^{\eta} \phi_{\eta}(t')$

در همه روابط جدول مذکور، کرنش حاصل از اعمال بار، $\varepsilon_c(t)$ ، که شامل کرنش های لحظه ای $\varepsilon_e(t)$ وارفتگی $\varepsilon_{fl}(t)$ است، به صورت تابعی از نرمی $J(t, t')$ و تنش σ بیان شده است. در روابط ACI کرنش لحظه ای بر حسب $E(t')$ ، مدول الاستیسیته مماسی بتن در سن t' ، که تابع مقاومت متوسط ۲۸ روزه، نوع سیمان (α) و چگونگی عمل آوری بتن (β) است، تعیین می شود.

کرنش وارفتگی بر حسب مقدار ضریب وارفتگی $\varphi(t, t')$ و ضریب وارفتگی نهایی $\varphi_{\infty}(t')$ است. با در نظر گرفتن اثر سن بتن هنگام اعمال بار، رطوبت نسبی

مقاومت و مدول الاستیسیته‌ی بتن در سینین ۳، ۷ و ۲۸ روز در جدول نشان داده شده و فولاد پیش‌تنیدگی از نوع پر مقاومت با ودادگی کم و با قطر ۱۲.۸ میلی‌متر بوده است. نیروی پیش‌تنیدگی معادل $100/7$ کیلونیوتن در سن ۳ روزگی به تیر اعمال شده است. برای تشدید اثر خوش، دو نیروی متمرکز مطابق شکل نیز به تیر اعمال شده و خیز تیر در زمان‌های مختلف و در یک دوره ۲۱۰ روزه اندازه‌گیری شده است [۷].

برای مدل‌سازی بتن و فولاد به ترتیب از المان‌های solid45 و link8 استفاده شده و اثر پیش‌تنیدگی با تعریف کرنش اولیه، $0/005$ در المان link8 اعمال شده است. شکل ۲ تغییرات مقدار خیز تیر با زمان و انطباق خوب نتایج مدل عددی با مقادیر تجربی را نشان می‌دهد.



شکل ۲ مقایسه‌ی نتایج حاصل از مطالعات تجربی و عددی

۲-۲- بررسی وارفتگی در یک مکعب بتونی

وارفتگی در مکعبی بتونی به ضلع ۴۰۰ میلی‌متر و مقاومت مشخصه‌ی بتون ۲۵ مگاپاسکال، که در سن ۷ روز تحت اثر فشار ثابت ۱۶ مگاپاسکال در امتداد قائم قرار گرفته با استفاده از المان solid65 بررسی شده است (شکل ۳). نتایج به دست آمده از تحلیل، شامل روند تغییر مکان قائم نقاط مختلف، با مقادیر حاصل از مدل وارفتگی ACI 209 مقایسه شده است.

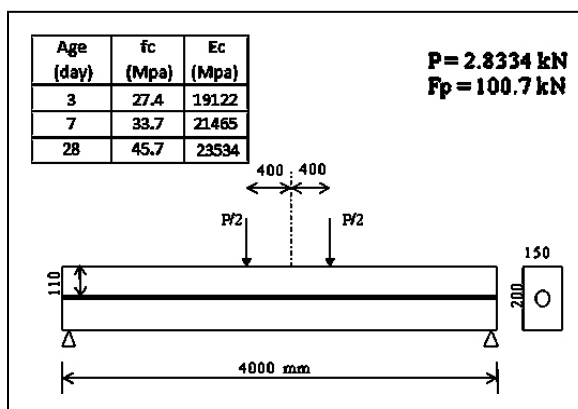
است. طبق آیین‌نامه‌ی یادشده، ضریب وارفتگی بلند مدت $(t^{\prime})_{\infty}$ برای تنش‌های بزرگ‌تر از 45% مقاومت بتن، تا 70% افزایش داده می‌شود. برای منظور کردن اثر نوسان دما در طول عمر قطعه‌ی بتونی، در محاسبه وارفتگی، به جای سن واقعی از سن اصلاح شده استفاده می‌شود.

۲- مدل‌سازی عددی

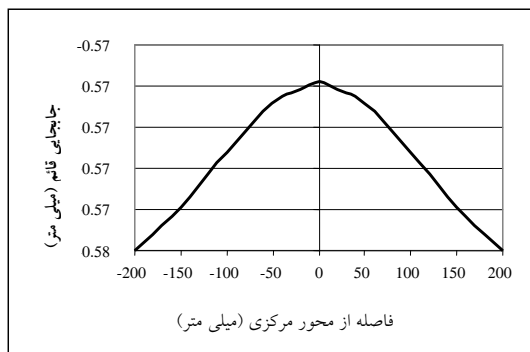
مطالعه‌ی اثر تغییر شکل‌های تابع زمانی بتن و فولاد بر افت‌های بلند مدت نیروی پیش‌تنیدگی در مخازن استوانه‌ای شکل از بتن پیش‌تنیده، با استفاده از روش اجزاء محدود و نرم‌افزار ANSYS انجام می‌شود. پیش از پرداختن به تحلیل مخازن مورد نظر، اعتبار مدل‌سازی عددی روی نمونه‌های ساده‌تر سنجیده می‌شود.

۱-۲- اثر وارفتگی بتون بر تیر پیش‌تنیده

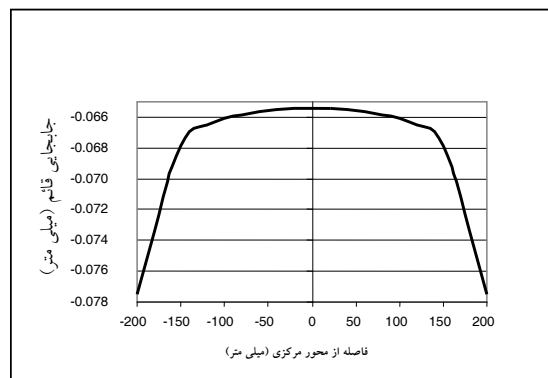
کنترل مدل عددی با داده‌های تجربی برگرفته از مقاله‌ی Chiu et al. [۷] در مورد اثر وارفتگی بتون و ودادگی فولاد پیش‌تنیدگی در تیرهای ساده‌ی بتون پیش‌تنیده (شکل ۱)، انجام شده است. شرایط آزمایش به گونه‌ای بوده که اثر جمع‌شدگی ناچیز باشد.



شکل ۱ مشخصات تیر بتونی و موقعیت کابل پیش‌تنیدگی و بارگذاری

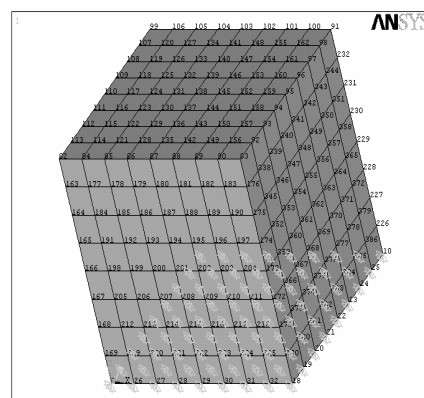


الف



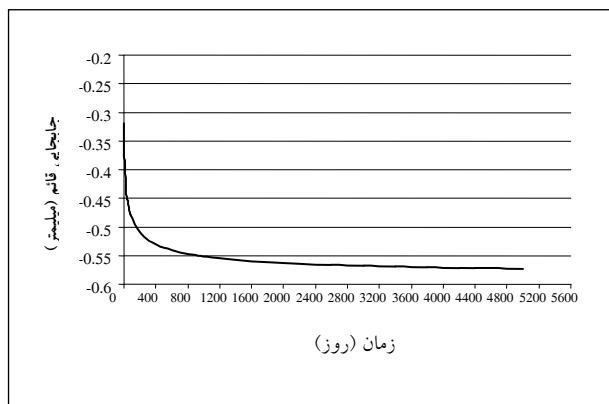
ب

شکل ۵ توزیع جابه جایی قائم در عرض مکعب در تراز سطح بالایی (الف)، در نزدیکی تکیه گاه (ب)



شکل ۳ مدل سازی مکعب بتنی

شکل ۴ جابه جایی نقطه‌ی میانی سطح بالایی مکعب در اثر وارفتگی را نشان می‌دهد. مشاهده می‌شود که آهنگ جابه جایی در ۱/۵ سال اول بارگذاری قابل توجه بوده و سپس به تدریج کند می‌شود به گونه‌ای که پس از حدود ۶/۵ سال ناچیز می‌شود.



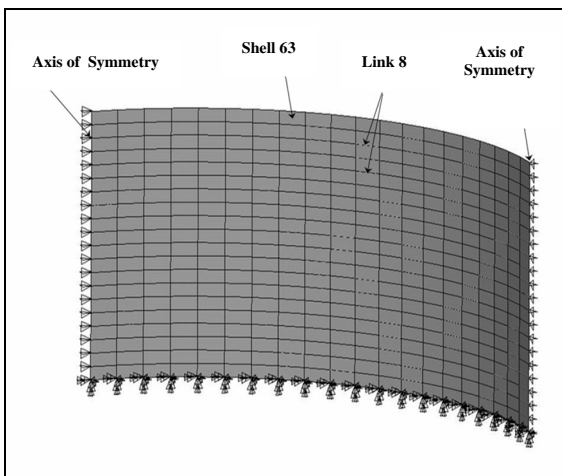
شکل ۴ جابه جایی قائم در اثر وارفتگی بتن

شکل ۵، تمرکز این اثر را در کناره‌ها و گوشه‌های نمونه‌ی مکعبی نشان می‌دهد. همچنین، یکنواخت شدن تغییر مکان‌ها، با دور شدن از محل وارد شدن فشار سطحی، به خوبی مشاهده می‌شود (شکل ۵-الف و ب).

۳-۲ مدل مخازن بتن پیش‌تینیده

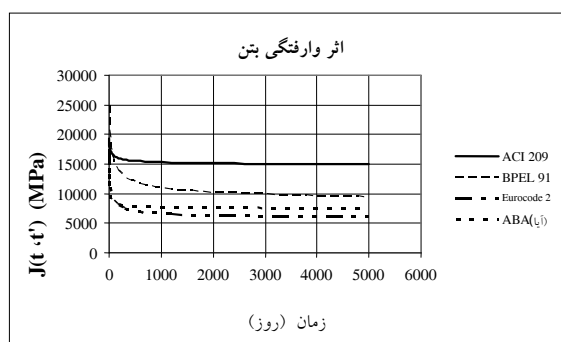
برای بررسی تغییرات تابع زمان نیروی پیش‌تینیدگی محیطی، مخازن استوانه‌ای شکل به شعاع ۲۵ متر، ارتفاع ۱۰ متر و ضخامت‌های جدار ۵۰۰، ۳۰۰ و ۶۰۰ میلی‌متر مستقر بر رادیه‌ی صلب و اتصال گیردار دیواره به کف، در نظر گرفته می‌شوند. مقاومت فشاری بتن ۲۵ مگاپاسکال و مقاومت فولادهای پیش‌تینیدگی و معمولی به ترتیب ۱۸۸۰ و ۳۰۰ مگاپاسکال اختیار شده است.

پوسته‌ی استوانه‌ای و فولادهای پیش‌تینیدگی به ترتیب با shell63 و link8 شبیه‌سازی شده و پیش‌تینیدگی محیطی با در نظر گرفتن کرنش اولیه‌ی ۰/۰۰۸ برای المان link8 اعمال شده است. برای تأمین کمینه پیش‌تینیدگی،

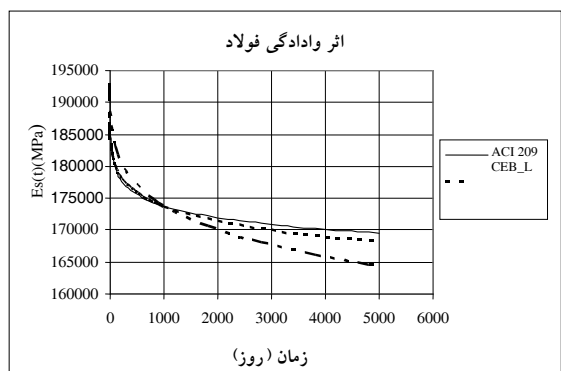


شکل ۶ نمونه‌ی مدل عددی ساخته شده‌ی مخزن

در شکل‌های ۷ و ۸ نتایج حاصل از مدل‌های رفتاری مختلف وارفتگی بتن و وادادگی فولاد با هم مقایسه شده است.



شکل ۷ مدل‌های مختلف وارفتگی بتن



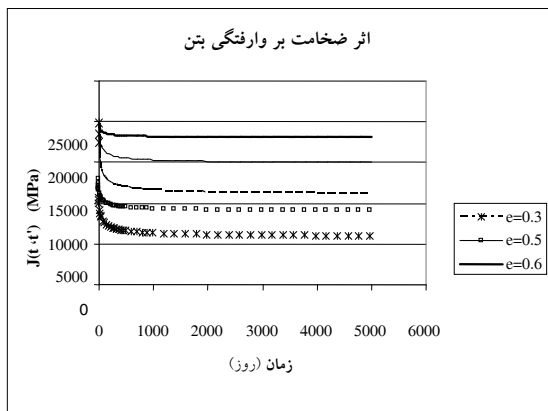
شکل ۸ مدل‌های مختلف وادادگی فولاد

توزیع کابل‌ها در ارتفاع مخزن مناسب با فشار هیدروستاتیک داخلی، با فواصل ثابت یک متر و سطح مقطع متغیر بین ۲۳۷۶ و ۵۹۸ میلی‌متر مربع، از پایین به بالا، انجام شده است.

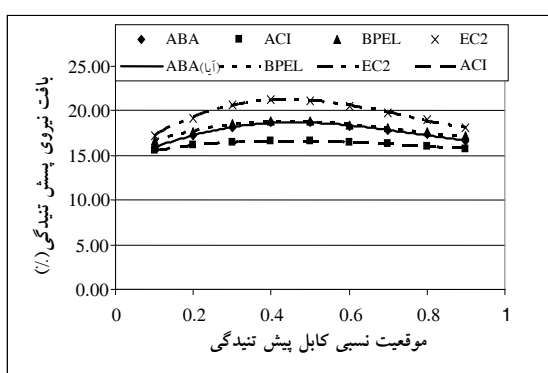
برای مطالعه‌ی اثر پیش‌تندیگی قائم بر تغییرات پیش‌تندیگی محیطی نیز در تعدادی از مدل‌ها، در امتداد قائم، از المان‌های link8 با سطح مقطع ۵۹۸ میلی‌متر مربع به فاصله ۱۹۶۰ میلی‌متر استفاده شده است. به علاوه، اثر زمان اعمال نیروی پیش‌تندیگی بر وارفتگی، با تحلیل مدل‌های عددی در سالین ۷، ۱۴، ۲۱، ۲۸ و ۴۲ روز تحت اثر پیش‌تندیگی مطالعه شده است. با توجه به تقارن سازه و بارگذاری، با اعمال شرایط مرزی مناسب در صفحه‌های تقارن، تنها یک چهارم مخزن مدل‌سازی شده و تحلیل شده است (شکل ۶). برای وارفتگی بتن، از مدل‌های ارائه شده در ACI 209، BPEL 91، EC2، و آیین‌نامه‌ی بتن ایران (آب) [۲۱] و روابط جدول ۲ و برای در نظر گرفتن اثر وادادگی فولاد پیش‌تندیگی، از روابط CEB و ACI 209 استفاده شده است.

جدول ۲ مدل وارفتگی آیین‌نامه‌ی بتن ایران [۲۱]

آیین‌نامه بتن ایران	$\varepsilon_{\alpha}(t) = \phi \varepsilon_{\alpha} f(t)$ $\varepsilon_{\alpha} = \frac{f_{\alpha}}{E_{\alpha}}$ $\phi = (3.6 - 2.4RH^2) \frac{500 + 0.3e}{400 + e} \frac{W}{500} \left(1 + 3 \frac{W}{C} \right) \left(1.72 - \log \sqrt{t_0} \right)$ $1.5 \leq \phi \leq 2$ $f(t) = \frac{\sqrt{t}}{\sqrt{t} + 0.16\sqrt{r_m}}$
---------------------	---



شکل ۹ اثر افزایش ضخامت جدار بر کاهش وارفتگی بتن



شکل ۱۰ تغییرات افت نیروی پیش‌تندیگی در ارتفاع جدار مخزن حاصل از وارفتگی بتن و وادادگی فولاد

نمونه های مورد مطالعه بین ۱۵ تا ۲۲ درصد است. در این بین مدل ACI کمترین مقدار و مدل EC2 بیشترین مقدار تغییرات را نشان می دهد. نکته‌ی قابل توجه این که مدل "آبا"، میزان افتش در حدود میانگین افت‌های حاصل از آن دو را برآورد می کند. به علاوه، بیشترین میزان افت در کابل‌هایی که در تراز نیمه میانی جدار قرار دارند، روی می دهد. همین روند در افت حاصل از تغییر شکل الاستیک پوسته، که بین ۶٪ و ۲۵٪ است نیز دیده می شود (شکل ۱۱).

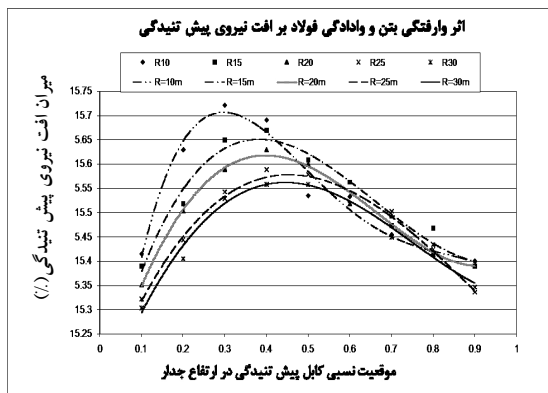
به طوری که در شکل ۷ مشاهده می شود، با این که روند تأثیر وارفتگی بتن در همه نمونه‌ها تقریباً مشابه است، از نظر مقدار، تفاوت قابل ملاحظه‌ای به چشم می خورد. مدل EC2 بیشترین و مدل ۲۰۹ ACI کمترین مقدار تأثیر را دارند. مدل ۹۱ BPEL، تقریباً میانگین اثر دو مدل ۲۰۹ ACI و EC2 را دارد. مدل "آبا" در کوتاه‌مدت با مدل EC2 انطباق دارد ولی پس از حدود یک سال به بیشترین مقدار خود رسید که تقریباً برابر میانگین مقادیر براورده شده دو مدل EC2 و BPEL91 است. بر اساس نتایج مذکور، بیشترین تأثیر وارفتگی بتن در ۳ سال اول پس از بارگذاری روی می دهد.

از شکل ۸ چنین برمی‌آید که در مورد فولادهای با وادادگی پایین، مدل‌های ACI209 و CEB تقریباً با هم انطباق دارند. تأثیر وادادگی در این گونه فولادها تا حدود ۱۲ سال و در فولادهای معمولی تا بیش از ۱۵ سال ادامه دارد.

۳- اثر تغییر شکل‌های تابع زمان در مخازن بتن پیش‌تندی

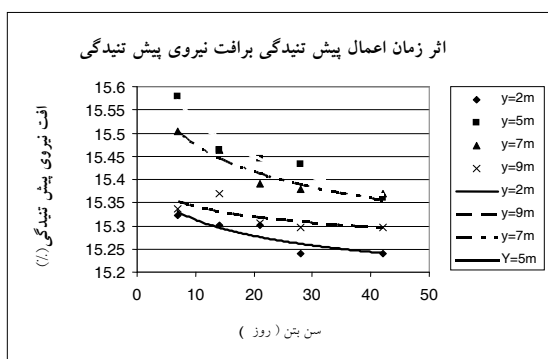
نتایج به دست آمده از تحلیل عددی مدل‌ها، نشان می دهد که با افزایش ضخامت جدار از کمینه ضخامت اجرایی ۳۰۰ میلی‌متر به ۵۰۰ و ۶۰۰ میلی‌متر، اثر وارفتگی بتن بر افت نیروی پیش‌تندیگی به ترتیب ۳۶٪ و ۶۴٪ کاهش می‌یابد (شکل ۹).

شکل ۱۰ میزان افت نیروی پیش‌تندیگی کابل‌های موجود در ترازهای مختلف را نمایش می دهد. به طوری که مشاهده می شود، افت حاصل از وارفتگی بتن و وادادگی فولاد در

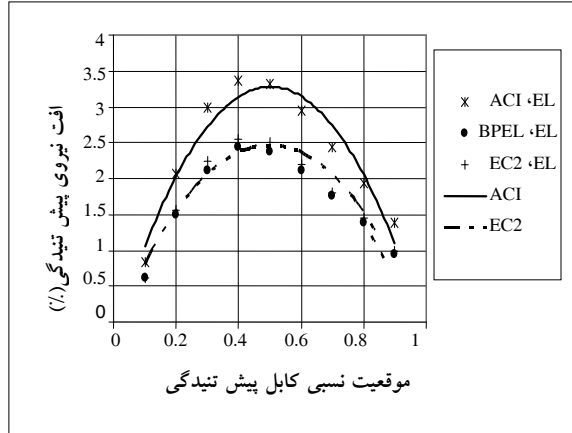


شکل ۱۳ تغییرات افت نیروی پیش تینیدگی در ارتفاع جدار
مخزن حاصل از تغییر قطر مخزن

مطالعه‌ی اثر سن بتن در زمان اعمال پیش تینیدگی بر افت نیروی پیش تینیدگی، نشان می‌دهد که افزایش سن بتن موجب کاهش مقدار افت می‌شود (شکل ۱۴). مقدار کاهش برای کابل‌های تراز میانی، که بیشترین افت را دارند، حدود 0.2% کشش اولیه‌ی کابل است. بنابراین می‌توان نتیجه گرفت که در مخازن مورد مطالعه، بیشتر افت پیش تینیدگی در اثر وادادگی فولاد پدید می‌آید.

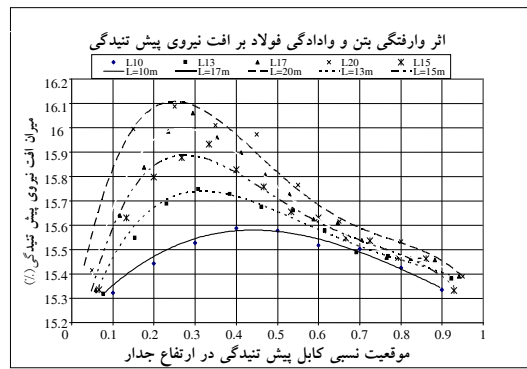


شکل ۱۴ تغییرات افت نیروی پیش تینیدگی در جدار مخزن
بر حسب زمان اعمال پیش تینیدگی در ترازهای مختلف



شکل ۱۱ تغییرات افت نیروی پیش تینیدگی در ارتفاع جدار
مخزن حاصل از تغییر شکل الستیک جدار

مطالعه‌ی نتایج حاصل از تحلیل مخازن با قطرها و ارتفاعهای مختلف نشان می‌دهد که موقعیت کابل‌هایی که بیشترین افت را دارند، تابع ارتفاع جدار و قطر مخزن است. در شکل ۱۲ مشاهده می‌شود که برای مخزن به قطر ۵۰ متر، با افزایش ارتفاع جدار از ۲۰ به ۵۰ متر، موقعیت بیشترین افت پیش تینیدگی از 0.5% ارتفاع به حدود 0.25% ارتفاع تغییر می‌کند. مطالعه‌ای مشابه در مورد مخازنی به ارتفاع جدار ۱۰ متر، نشان می‌دهد که با تغییر قطر مخزن از ۲۰ تا ۶۰ متر، موقعیت بروز بیشترین افت پیش تینیدگی از حدود 0.3% ارتفاع به 0.45% ارتفاع تغییر می‌کند (شکل ۱۳).

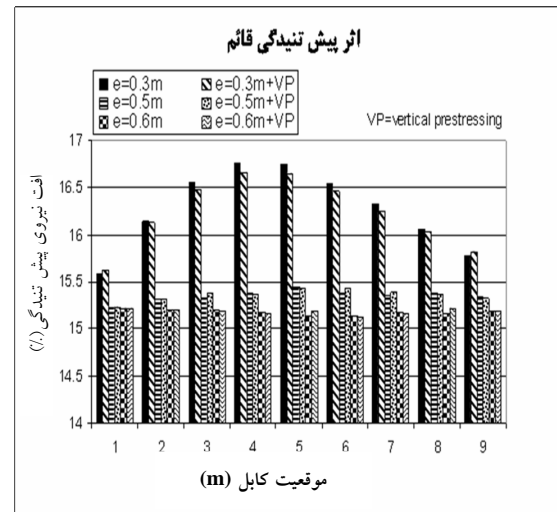


شکل ۱۲ تغییرات افت نیروی پیش تینیدگی در ارتفاع
جدار مخزن حاصل از تغییر ارتفاع جدار

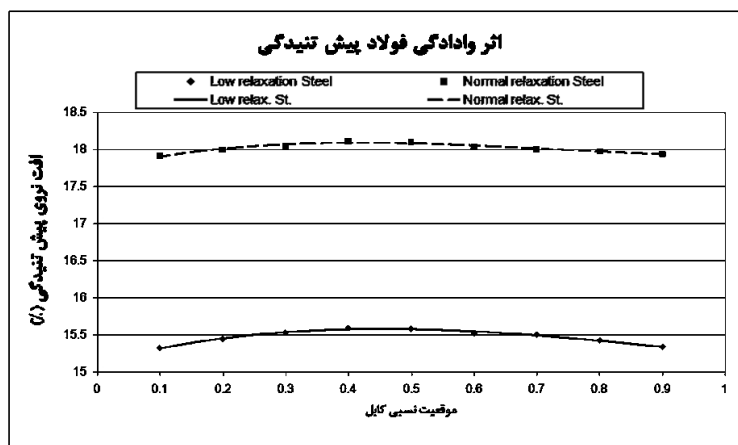
شکل ۱۵ میزان افت نیروی پیش‌تنیدگی کابل‌های افقی را در ترازهای مختلف و ضخامت جدار ۳۰۰، ۵۰۰ و ۶۰۰ میلی‌متر نشان می‌دهد. با توجه به اثر قابل‌توجه و ادادگی فولاد، در مدل‌های مطالعه شده، حصول چنین نتیجه‌ای دور از انتظار نیست.

فولاد مصرفی در کابل‌های پیش‌تنیدگی ممکن است از نوع با وادادگی کم یا معمولی باشد. بررسی اثر این عامل بر افت نیروی پیش‌تنیدگی، بر اساس روابط CEB، نشان داد که در صورت استفاده از فولاد نوع معمولی در مخازن مورد مطالعه، میزان افت ۲/۵٪ افزایش می‌یابد. این در حالی است که تغییرات نیروی پیش‌تنیدگی در ارتفاع جدار برای هر دو نوع فولاد، روند مشابهی دارد (شکل ۱۶).

مقایسه‌ی نتایج حاصل از آنالیز مدل‌های عددی با منظور کردن پیش‌تنیدگی قائم و بدون آن، حاکم از تأثیر ناچیز این عامل بر تغییرات نیروی پیش‌تنیدگی محیطی است.



شکل ۱۵ اثر پیش‌تنیدگی قائم بر تغییرات افت نیروی پیش‌تنیدگی در جدار مخزن



شکل ۱۶ اثر نوع فولاد بر تغییرات افت نیروی پیش‌تنیدگی در جدار مخزن

اثر متقابل آن‌ها، ضروری به نظر می‌رسد. در آیین‌نامه‌ی بتن ایران، برای این منظور، به افت حاصل از وادادگی

با توجه به تأثیر متفاصل وارفتگی بتن و وادادگی فولاد، برای تکمیل مطالعات انجام شده، تعیین میزان سهم هر یک در افت نیروی پیش‌تنیدگی و چگونگی منظور کردن

۴- نتیجه‌گیری

بررسی اثر وارفتگی بتن و وادادگی فولاد بر افت نیروی پیش‌تینیدگی در جدار مخزن استوانه‌ای از بتن پیش‌تینیده، در دوره‌ای حدود ۱۳ سال، حاکی از بروز ۱۵ تا ۲۲ درصد افت است که حدود ۷۰٪ آن سهم وادادگی فولاد پیش‌تینیدگی است. در مقایسه، مدل ACI209 کمترین مقدار و مدل EC2 بیشترین مقدار افت را نسبت به مدل‌های مطالعه شده برآورد می‌کند. در این میان استفاده از مدل آیین‌نامه‌ی بتن ایران به مقدار افتی در حدود میانگین مدل‌های مذکور منجر می‌شود. میزان افت در کابل‌های مستقر در نوار میانی جدار، بیشتر است که دلیل آن را می‌توان در چگونگی تغییر شکل الاستیک پوسته‌ی مخزن دانست. البته با تغییر ارتفاع جدار، قطر مخزن و شرایط اتصال جدار به کف این موقعیت نیز تغییر می‌کند. مقایسه نتایج حاصل از تحلیل مدل‌های با پیش‌تینیدگی قائم و بدون آن، نشان می‌دهد که در مورد مدل مطالعه شده، وجود پیش‌تینیدگی قائم اثری ناچیز بر میزان افت پیش‌تینیدگی محیطی دارد.

در نهایت به نظر می‌رسد که در محاسبه‌ی افت نیروی پیش‌تینیدگی کابل‌ها در جدار مخازن استوانه‌ای، با اصلاح ضریب مربوط به افت حاصل از وادادگی فولاد از مقدار ۵/۶ پیشنهادی آیین‌نامه‌ی بتن ایران، به عدد ۱۴/۱۵، برآورد واقعی‌تری به دست خواهد آمد.

۵- منابع

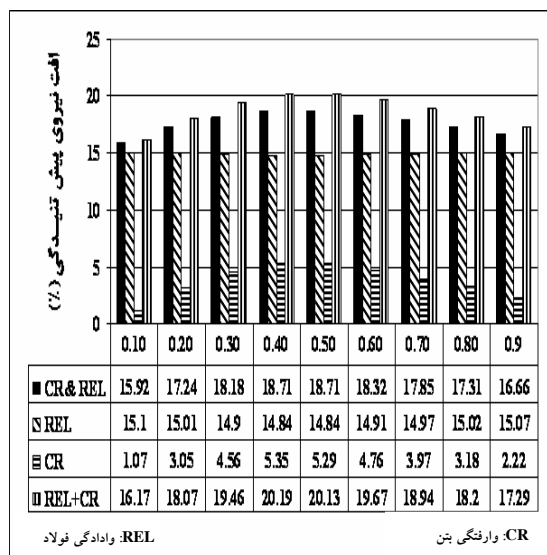
- [1] ACI committee 209, 1992. Prediction of creep, shrinkage and temperature effects in concrete structures , ACI 209R-92.
- [2] AFNOR (1992) , Eurocode 2:"calcul des structures en béton" et Document

فولاد ضریب ۵/۶ اعمال می‌شود و مجموع افت پیش‌تینیدگی به صورت زیر محاسبه می‌شود [۲۱]:

$$\Delta = \sum_{j=1}^5 \Delta_j + \frac{5}{6} \Delta_6 \quad (3)$$

شکل ۱۷ نتایج حاصل از اعمال جدگانه و همزمان وارفتگی بتن و وادادگی فولاد را نشان می‌دهد. به طوری که مشاهده می‌شود، از کل افت حاصل از این دو پدیده، سهم وارفتگی بتن بین ۷ تا ۲۸ درصد است و بیشتر افت در نتیجه‌ی وادادگی فولاد روی داده است. هم‌چنین افت حاصل از تأثیر همزمان این دو عامل حدود ۹۲٪ مجموع افت حاصل از تأثیر جدگانه‌ی آن‌ها است. بنابر این چنین به نظر می‌رسد که اصلاح ضریب ۵/۶ آیین‌نامه‌ی بتن ایران به ۱۴/۱۵، در مورد مخازن مطالعه شده، به نتایج واقعی‌تری منجر خواهد شد. از این رو، پیشنهاد می‌شود که رابطه‌ی (۳) با رابطه‌ی زیر جایگزین شود:

$$\Delta = \sum_{j=1}^5 \Delta_j + \frac{14}{15} \Delta_6 \quad (4)$$



شکل ۱۷ تأثیر متقابل وارفتگی بتن و وادادگی فولاد بر تغییرات افت نیروی پیش‌تینیدگی در جدار مخزن

- rules for building .CEN/TC 250/SC 2
2001 .No. pr EN 1992 .1.
- [9] Furr , H.L. , 1967 , Creep tests of two-way prestressed concrete , ACI J. 64-29 , pp. 288-294.
- [10] Gopalakrishnam , K.S. , Neville , A.M. , Ghali , A. , (1969) , "Creep Poisson's ratio of concrete under multi axial compression" , ACI J. 66-90 , pp.1008-1019
- [11] Hansen , T.C. , and Mattock , A.H. , (1966) , "Influence of size and shape of member on the shrinkage and creep of concrete" , ACI J.63-10 , pp. 267-289.
- [12] Lanig N. , Stockl , S. , and Kapfer .H. , (1991) Versuche zum Kriechen und zur Restfestigkeit von Beton bei mehrachsiger Beanspruchung , Deutscher Ausschuss fur Stahlbeton.
- [13] Nasser , K.W. , and Neville , A.M. , (1967) , "Creep of old concrete at normal and elevated temperatures" , ACI J.64-9 , pp.97-103.
- [14] Niyogi A.K. , Hsu , P. , and Meyers , B.L. , (1973) , "The influence of age at time of loading on basic and drying creep" , Cement Concrete Res.3 , pp.633-644.1
- [15] Oh .B.H. , Cha , S.W. , Um , J.Y. , and Lim , D.H. , (1995) , "Effects of reinforcement and humidity on the creep and shrinkage behavior of high-strength concrete members , Creep and Shrinkage of Concrete" Proceedings of the Fifth International RILEM Symposium, pp.522-571.
- d'application National , Normalisation Francaise 1992 , NF P18-711.
- [3] Alwis , W.A.M. , (2001) , Stress redistribution in RC beams and columns , Creep , Shrinkage and Durability Mechanics of concrete and other Quasi-Brittle Materials , Proceedings CONCREEP 6 , Elsevier Science , Amsterdam , pp. 803-808.
- [4] Anderson , P. , 2005 , Thirty years of measured prestress at Swedish nuclear reactor containments , Nuclear Engineering and Design 235 , pp.2323-2336.
- [5] Berthollet , A. , 2003 , Contribution A la modelisation du beton vis-a-vis du vieillissement et de la durabilite : interaction des deformations du fluage et du comportement non-lineaire du materiau , These pour obtenir le grade du docteur , l'Institut National des Sciences Appliquees de Lyon.
- [6] Bhal , N.S. , and Jain , J.P. , Sept. (1995) , "Effect of age at time of loading on creep of concrete" . Indian Concrete J.69 , pp.499-504.
- [7] Chiu , H.S. .Chern , J.C. , and Chang K.C. , (1996) , "Long term deflection control in cantilever prestressed concrete bridges" , I , Journal of Engineering Mechanics , ASCE ,122 , pp. 489-501.
- [8] Comité Euopéen de Normalisation (2001) , 1rst draft of Eurocode 2 , Design of concrete structures Part I: eneral rules and

- International , Vol 13 , No. 10 , Oct. 1991 , pp.47 .51.
- [20] Stockl , S. , Bierwirth , H. , Lamig , N. , and Kapfer , H. , (1993) , "Creep behavior of concrete under tri axial compressive stress , Creep and Shrinkage of Concrete" Proceedings of the Fifth International RILEM Symposium , pp. 27-32.
- [21] آین نامه طرح و محاسبه قطعات بتن پیش تنیده بخش الحقیقی به آین نامه بتن ایران (آبا) ، دفتر تدوین ضوابط و معیارهای فنی سازمان مدیریت و برنامه ریزی کشور ، ۱۳۸۲.
- .
- [16] Parrott L.J. , (1973) , "An examination of the effects of age at loading upon the creep of hardened cement paste" , Mag. Concrete Res. 25(85) , pp.197-200.
- [17] Règles BPEL91 (1999) , Règles techniques de conception et de calcul des ouvrages et constructions en béton précontrainte suivant la méthode des états limites , Bulletin official du ministère de l'équipement de transports et du logement , 1999 , section 2 .320p. (fascicule spécial N 62-1).
- [18] Ross , A.D. , (1954) , "Experiments on the creep of concrete under two-dimensional stressing , Mag" . Concrete Res. 16 , pp.3-10.
- [19] Steven R. Close and Ib Falk Jorgensen , (1991) , "Prestressed concrete tanks for hazardous liquids" , Concrete